

Studi Potensi Air tanah pada Cekungan Airtanah (CAT) Banyumudal, Kabupaten Kebumen, Jawa Tengah

By Listiyani Retno Astuti

3 Studi Potensi Airtanah pada Cekungan Airtanah (CAT) Banyumudal, Kabupaten Kebumen, Jawa Tengah

T. Listyani R.A.¹ dan Thomas Triadi Putranto²

20
¹Prodi Teknik Geologi, Fakultas Teknologi Mineral, Institut Teknologi Nasional Yogyakarta; e-mail: lis@itny.ac.id
²Departemen Teknik Geologi, Fakultas Teknik, Universitas Diponegoro

ABSTRAK

43
Cekungan Airtanah (CAT) Banyumudal terletak di Kabupaten Kebumen, seluas 67 km². Mengacu pada peta geologi regional, daerah ini tersusun atas Formasi Halang, Kalipucang, dan Gabon. Maksud penelitian ini adalah menganalisis potensi airtanah CAT Banyumudal, baik secara kualitas maupun kuantitasnya. Metodologi yang digunakan adalah pengumpulan data sekunder, pemetaan hidrogeologi, akuisisi geolistrik konfigurasi Schlumberger dan uji pemompaan. Pemetaan hidrogeologi dilaksanakan pada 153 titik minatan, meliputi 110 sumur gali, 20 sumur bor, dan 23 mata air. Hasil pengujian laboratorium menunjukkan nilai daya hanter listrik airtanah sebesar 115 - 1.251 µS/cm pada sumur gali, 507- 981 µS/cm pada sumur bor dan 259 - 604 µS/cm pada mata air. Derajat keasaman (pH) airtanah pada sumur gali sebesar 5,761 - 8,5 pada sumur bor 7,013 - 8,333 dan pada mata air 6,747 - 8,204. Hasil plot diagram Stiff menunjukkan adanya 12 tipe airtanah, sedangkan plot diagram Piper menunjukkan 4 fasies airtanah, yaitu fasies alkaline earth water predominantly hydrogencarbonate, fasies alkaline earth water with higher alkaline content predominantly hydrogencarbonate, fasies alkaline water predominantly hydrogencarbonate, dan fasies alkaline water predominantly sulphate chloride. Hal tersebut menunjukkan bahwa airtanah di daerah penelitian berkualitas sedang – sangat baik. Hasil interpretasi geolistrik menunjukkan bahwa litologi bawah permukaan berupa batulempung, batulempung pasiran, batupasir, batugamping, breksi dan tuf. Hanya aquifer bebas yang berkembang di daerah penelitian. Cadangan statis airtanah di daerah penelitian sebesar $200,7 \times 10^6$ m³ sedangkan cadangan dinamis sebesar $33,4 \times 10^6$ m³. Daerah penelitian dapat dibagi menjadi dua zona potensi airtanah, yaitu zona potensi airtanah rendah pada aquifer bebas dengan debit optimum 0,553 - 1,492 L/dtk dan zona potensi airtanah sedang pada aquifer bebas dengan debit optimum 2,651 - 3,024 L/dtk.

Kata kunci: Potensi, Kualitas, Kuantitas, Airtanah, CAT Banyumudal

ABSTRACT

40
Banyumudal Groundwater Basin (Banyumudal GWB) is located in Kebumen Regency, covering 67 km² area. According to the regional geological map, the study area consists of Halang, Kalipucang and Gabon Formations. This study aims to analyze groundwater potency in Banyumudal GWB in quality and quantity. The method of study includes secondary data collection, hydrogeological mapping, geoelectric acquisition with Schlumberger configuration and pumping test. Hydrogeological mapping was done from 153 locations, consist of 110 dug wells, 20 deep wells and 23 springs. Result of the laboratory test shows that groundwater has electrical conductivity (EC) between 115 - 1,251 µS/cm in dug wells, 507 - 981 µS/cm in deep wells and 259 - 604 µS/cm in springs. Groundwater shows an acidity (pH) of 5,761 - 8,5 in dug wells, 7,013 - 8,333 in deep wells and 6,747-8,204 in springs. Result of the Stiff diagram plot shows that there are 12 types of groundwater, while the Piper diagram plot shows 4 groundwater facies namely alkaline earth water predominantly hydrogencarbonate, alkaline earth water with higher alkaline content predominantly hydrogencarbonate, alkaline water predominantly hydrogencarbonate, and alkaline water predominantly sulphate chloride facies. This result generally represent that groundwater in the study area is in the very good – medium range quality. Geoelectric results indicate subsurface lithology as claystone, sandy claystone, sandstone, limestone, breccia and tuff. It seems that only unconfined aquifers which exist in the study area. Groundwater reserves in study area include static reserves in amount of 200.7×10^6 m³ and dynamic reserves in amount of 33.4×10^6 m³. Based on quality and quantity of groundwater, there are two groundwater potential zones, that are low groundwater potential zone in unconfined aquifer with optimum discharge of 0.553 - 1.492 L/s and medium groundwater potential zone in unconfined aquifer with optimum discharge of 2.651 - 3.024 L/s.

Keywords: Potency, Quality, Quantity, Groundwater, Banyumudal Groundwater Basin

Citation: Listyani R.A., T. dan Putranto, T.T.. (2020). Studi Potensi Airtanah pada Cekungan Airtanah (CAT) Banyumudal, Kabupaten Kebumen, Jawa Tengah. Jurnal Ilmu Lingkungan, 18(3), 531-544, doi:10.14710/jil.18.3.531-544

1. Latar Belakang

Kebutuhan manusia terhadap air semakin meningkat seiring bertambahnya jumlah penduduk di

suatu daerah. Kebutuhan air yang terus meningkat dapat diperoleh dengan memanfaatkan airtanah. Upaya pemanfaatan airtanah memerlukan kajian

tentang kuantitas dan kualitas airtanah yang terdapat pada aquifer.

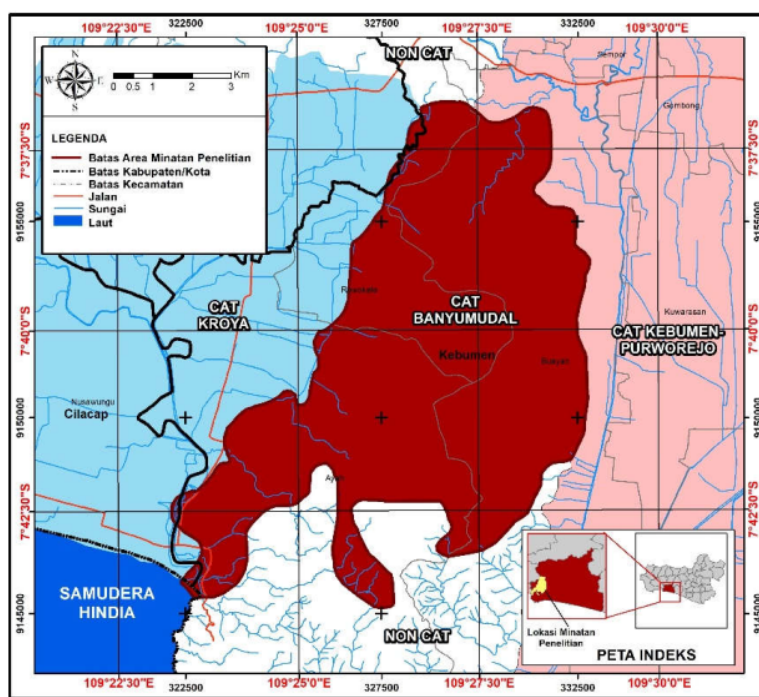
34

Air adalah salah satu sumber daya alam yang dapat diperbarui. Airtanah merupakan sumber daya alam yang vital dalam menyediakan pasokan air minum yang bersih, baik di daerah pedesaan maupun perkotaan (Magesh dkk., 2012). Pemanfaatan airtanah harus didasarkan pada konsep keseimbangan (*balance*) dan kelestarian (*sustainable*) sumber daya air tersebut. Konsep pengelolaan air yang berwawasan lingkungan diperlukan untuk menjaga kelestarian sumberdaya air. Sumber daya airtanah dikelola secara menyeluruh, terpadu, dan berwawasan lingkungan hidup dengan tujuan mewujudkan kemanfaatan sumber daya airtanah yang berkelanjutan. Untuk itu perlu dilakukan kajian mengenai potensi airtanah baik dari segi kuantitas maupun kualitasnya.

Airtanah sebagai sumberdaya air dewasa ini semakin dibutuhkan mengingat air permukaan sering

tidak memadai dan mudah tercemar. Oleh karena itu, potensi airtanah perlu diteliti demi menjaga keberlangsungan ketersediaan airtanah di suatu daerah, mengingat airtanah tidaklah selalu mencukupi. Oleh karenanya, studi tentang potensi airtanah ini diharapkan dapat bermanfaat bagi masyarakat di Cekungan Airtanah (CAT) Banyumudal.

CAT Banyumudal merupakan cekungan airtanah yang terletak di Kabupaten Kebumen. Secara geografis CAT ini terletak di antara garis 322200-333148 m (Timur) dan 9157920-9145352 m (Utara) dari koordinat UTM 49S. Wilayahnya meliputi 3 area kecamatan yaitu 333camatan Ayah, Buayan dan Rowokele. CAT ini berbatasan dengan CAT Kroya di bagian barat, CAT Kebumen-Purworejo di bagian timur serta 17-CAT di bagian utara dan selatan (Gambar 1). Berdasarkan Permen ESDM N. 17, CAT Banyumudal memiliki luas wilayah 67 km² (Republik Indonesia, 2017).



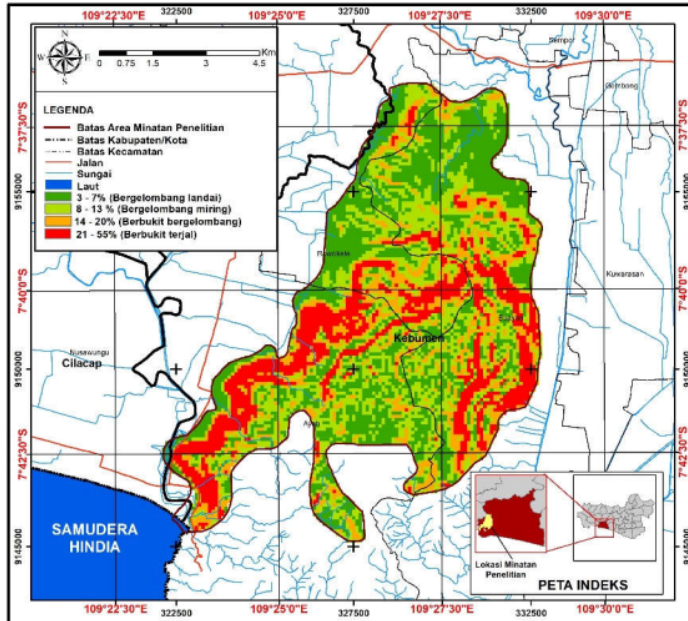
Gambar 1. Peta Cekungan Airtanah (CAT) Banyumudal.

2. Tinjauan Pustaka

2.1. Geologi Regional

Kondisi geologi regional daerah CAT Banyumudal dapat dilihat dari aspek geomorfologi dan stratigrafinya. Secara geomorfologi, daerah CAT Banyumudal dapat digolongkan menjadi 4 satuan morfologi (Gambar 2) berdasarkan analisis besar lereng dan beda tinggi daerah penelitian. Satuan yang pertama yaitu Satuan Morfologi Bergelombang Landai yang mengisi sekitar 57% luas wilayah CAT Banyumudal. Morfologi ini banyak dijumpai di bagian

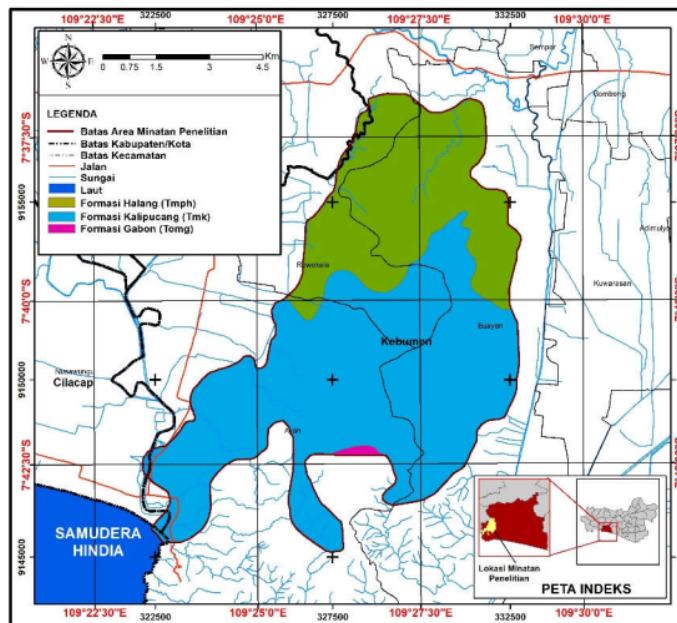
utara wilayah penelitian. Satuan kedua yaitu Satuan Morfologi Bergelombang Miring yang mengisi sekitar 14% daerah penelitian. Morfologi ini banyak dijumpai di Kecamatan Ayah dan Buayan. Satuan ketiga yaitu Satuan Morfologi Berbukit Bergelombang. Morfologi ini memiliki penyebaran sekitar 7% luas wilayah penelitian dan banyak dijumpai di Kecamatan Ayah dan Kecamatan Buayan. Satuan keempat adalah Satuan Morfologi Berbukit Terjal. Morfologi ini tersebar seluas 32% dari wilayah penelitian dan banyak dijumpai di Kecamatan Ayah.



Gambar 2. Peta Geomorfologi (CAT) Banyumudal

Menurut Asikin dkk. (1995), stratigrafi daerah CAT Banyumudal tersusun atas tiga formasi batuan, yaitu Formasi Halang (Tmhp), Formasi Kalipucang (Tmk), dan Formasi Gabon (Tomg) (Gambar 3). Formasi Halang merupakan formasi yang paling muda yang tersusun oleh batupasir, batuempung, napal dan tuf yang berselingan dengan breksi. Formasi ini mencakup 40% dari wilayah CAT Banyumudal.

Formasi Kalipucang tersusun oleh batugamping terumbu dan batugamping klastik yang penyebarannya mencakup 55% wilayah penelitian. Formasi Gabon merupakan formasi yang paling tua, tersusun atas tuf, lapili tuf, lava, dan endapan lahar yang berbatasan langsung dengan Formasi Kalipucang di daerah selatan CAT Banyumudal.



Gambar 3. Peta Geologi (CAT) Banyumudal

2.2. 15 Hidrogeologi Regional

Cekungan airtanah adalah suatu wilayah yang dibatasi oleh batas-batas hidrogeologis, dimana dalam batas-batas tersebut, semua peristiwa hidrogeologi (*hydrogeologic event*) seperti pengimbuhan, pengaliran, dan pelepasan airtanah berlangsung (PAAI-GWWG, 2016). Berdasarkan peta hidrogeologi lembar Pekalongan (Effendi, 1985) (Gambar 5), daerah penelitian tersusun oleh:

1) Akuifer produktif

Akuifer jenis ini ada wilayah penelitian memiliki produktifitas sedang dengan penyebaran luas. Akuifer memiliki keterusan rendah hingga sedang, muka airtanah dekat dengan tanah, debit sumur diperkirakan 5 L/dtk.

2) Akuifer produktif sedang

Akuifer jenis ini memiliki produktifitas rendah sampai tinggi. Airtanah pada akuifer ini memiliki aliran bergantung pada zona celah, rekanan atau saluran pelarutan. Muka airtanah umumnya dalam, debit sumur dan mata air beragam bergantung pada kondisi celahan, rekaan atau saluran pelarutan.

3) Akuifer produktif kecil, setempat berarti

Akuifer jenis ini umumnya memiliki keterusan rendah, setempat dijumpai airtanah dan jumlah terbatas, dapat diperoleh pada zona pelapukan batuan padu atau di daerah lembah.

2.3. Tingkat Potensi Airtanah

Tingkat potensi airtanah dalam cekungan airtanah ditentukan berdasarkan kriteria sebagai berikut:

1) Kriteria kuantitas

Kuantitas airtanah yang dapat dieksplorasi ditentukan berdasarkan parameter akuifer dan parameter sumur yang meliputi keterusan (T), debit jenis (Q_s), dan debit optimum (Q_{opt}).

Kriteria kuantitas airtanah bergantung pada jenis peruntukannya (air minum, industri, pertanian, dan keperluan lain). Untuk keperluan air minum, berdasarkan kriteria kuantitasnya, akuifer pada cekungan airtanah dibedakan menjadi tiga kelas sebagai berikut:

- a) Besar, jika Q_{opt} lebih dari 10 L/dtk.
- b) Sedang, jika Q_{opt} antara 2-10 L/dtk.
- 2) Kecil, jika Q_{opt} kurang dari 2 L/dtk.

2) Kriteria kualitas

Kriteria kualitas bergantung pada jenis peruntukan, penentuan parameter kunci, dan standar yang digunakan untuk menilai kualitas airtanah. Pengelompokan kualitas airtanah untuk menentukan potensi airtanah bagi keperluan air minum didasarkan atas parameter kimia dengan mempertimbangkan:

- a) Parameter kimia yang terkait dengan litologi akuifer, umumnya mempunyai sebaran luas.
- b) Biaya untuk pengolahan parameter kimia.

3) Daerah/wilayah potensi airtanah

Berdasarkan kriteria kuantitas dan kualitasnya, daerah/wilayah potensi airtanah

dapat dibedakan menjadi empat kategori sebagai berikut :

- a) Tinggi jika setiap sumur yang dibuat dengan jarak antar sumur tertentu menghasilkan Q_{opt} lebih dari 10 L/dtk dengan kualitas airtanah baik.
- b) Sedang jika setiap sumur yang dibuat dengan jarak antar sumur tertentu menghasilkan Q_{opt} antara 2-10 L/dtk dengan kualitas airtanah baik.
- c) Rendah jika setiap sumur yang dibuat dengan jarak antar sumur tertentu menghasilkan Q_{opt} kurang dari 2 L/dtk dengan kualitas airtanah baik.
- d) Nihil jika setiap sumur yang dibuat menghasilkan air dengan kualitas jelek.

3. Metodologi

Metodologi yang dilakukan dalam studi potensi CAT Banyumudal adalah dengan menggunakan data primer dan data sekunder (Gambar 4). Metode penelitian secara rinci dapat dijelaskan sebagai berikut.

3.1. Pengumpulan Data Sekunder

Pengumpulan data sekunder dilakukan terlebih dahulu untuk mendapatkan data awal sebelum melakukan pengambilan data primer di lapangan. Persiapan data sekunder dapat meliputi perizinan pemerintah, pengumpulan alat dan bahan. Selain itu pengumpulan data sekunder juga dilakukan dari literatur terkait maupun dari instansi pemerintah terkait untuk mendapatkan data peta geologi regional, peta hidrogeologi regional, peta RTRW, peta kebutuhan air, dan data curah hujan.

15

3.2. Pengumpulan Data Primer

Pengumpulan data primer di lapangan dilakukan dengan metode pemetaan geologi dan hidrogeologi, pengukuran geolistrik, dan uji pemompaan. Masing-masing metode secara ringkas dapat dijelaskan sebagai berikut.

3.2.1. Pemetaan Geologi dan Hidrogeologi

Dari hasil pemetaan geologi diperoleh data morfologi serta batuan penyusun daerah penelitian. Sementara itu, pemetaan hidrogeologi menghasilkan data muka airtanah dan kualitas airtanah. Pengamatan hidrogeologi dilakukan pada 153 titik minatan, meliputi 110 sumur gali (SG), 20 sumur bor (SB), dan 23 mata air (MA). Pemetaan hidrogeologi di lapangan dilengkapi dengan pengambilan sampel airtanah sebagai bahan untuk analisis laboratorium.

Data kualitas airtanah yang terukur di lapangan antara lain sifat fisik (warna, rasa, bau) serta nilai daya hantar listrik (DHL) yang diukur dengan DHL-meter. Sementara itu, data kimia airtanah yang diukur di lapangan adalah pH dengan menggunakan pHmeter.

3.2.2. Pendugaan Geolistrik

Metode pendugaan geolistrik berguna untuk mengetahui susunan batuan di bawah permukaan. Pengukuran geolistrik dilakukan menggunakan

534

konfigurasi *Schlumberger* pada 15 titik minatan yang menghasilkan penampang bawah permukaan geometri akuifer.

3.2.3. Uji Pemompaan

Uji pemompaan dilakukan di 5 lokasi terpilih untuk mengetahui karakteristik hidrolik aquifer. Data yang diperoleh dari metode ini adalah nilai koefisien kelulusan (K), keterusan (T), koefisien simpan (S), dan debit jenis (Q_s).

3.3. Pengujian Laboratorium

Uji laboratorium dilakukan untuk mengetahui sifat fisik dan kimia airtanah. Sampel yang dianalisis di laboratorium sebanyak 80 sampel, berasal dari 50 sumur gali, 15 sumur bor dan 15 mataair. Pengujian laboratorium berguna untuk memperoleh data sifat

fisik (warna, rasa, kekeruhan, dan daya hantar listrik) serta sifat kimia (pH serta kandungan ion terlarut) airtanah. Pengujian sifat fisik/kimia airtanah dilakukan di laboratorium Badan Geologi, Bandung.

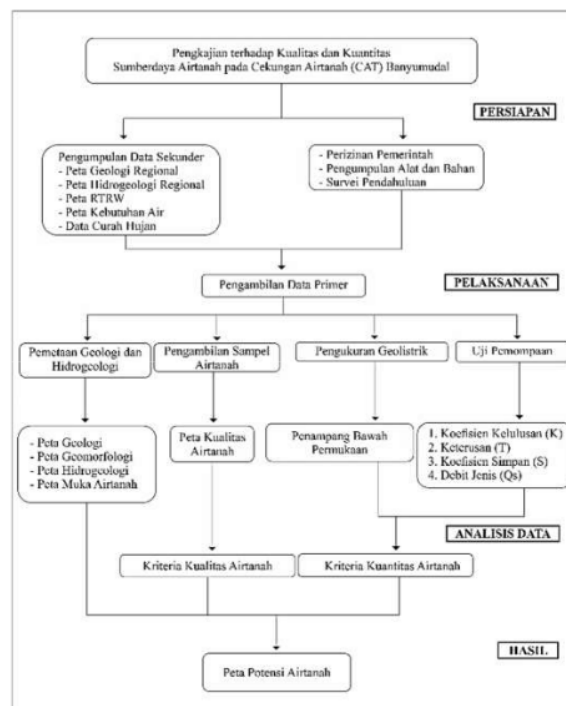
3.4. Analisis Data

32 Pekerjaan studio dilakukan untuk menganalisis data-data yang diperoleh dari data sekunder maupun data primer. Berikut ini penjelasan rinci dari tahapan analisis penelitian ini.

3.4.1. Analisis Hidrologi dan Hidrogeologi

3.4.1.1. Analisis Neraca Air

Analisis neraca air dilakukan dengan metode Thornthwaite (1948) dalam kurun satu tahun, pada bulan Januari – Desember 2019. Analisis neraca air berguna untuk melihat kesetimbangan air pada cekungan yang diteliti.



Gambar 4. Metodologi Penelitian

2

3.4.1.2. Analisis Pola Aliran Airtanah

Analisis pola aliran airtanah dilakukan berdasarkan data muka airtanah pada semua titik minatan, baik dari sumur gali, sumur bor maupun mata air.

3.4.1.3. Penentuan Zona Imbuhan dan Lepasan

Zona imbuhan dan lepasan airtanah dapat ditentukan dengan mempertimbangkan morfologi daerah, kedudukan muka airtanah serta keberadaan mataair. Batas zona imbuhan/lepasan di daerah penelitian ditentukan berdasarkan Permen ESDM No. 31/2018.

3.4.2. Analisis Kualitas Airtanah

Kualitas airtanah ditentukan berdasarkan hasil uji laboratorium fisik/kimia airtanah. Kualitas airtanah yang dianalisis meliputi tipe dan fasies airtanah. Tipe airtanah diketahui berdasarkan klasifikasi Kurlov (1928), sedangkan fasies airtanah diketahui berdasarkan analisis menggunakan Diagram trilinier Piper. Tipe dan fasies airtanah tersebut berguna untuk mengetahui genesis airtanah.

3.4.3. Analisis Geometri Akuifer

Hasil penyelidikan geolistrik digunakan untuk mengetahui susunan batuan dan geometri akifer cekungan yang diteliti. Hasil analisis ini menghasilkan penampang litostratigrafi 2D.

3.4.4. Perhitungan Cadangan Airtanah

Cadangan airtanah meliputi cadangan statis dan cadangan dinamis. Pada cadangan statis, kemampuan akuifer dihitung berdasarkan pada volume akuifer dan kemampuan menyimpan batuan sehingga nilai yang didapatkan adalah nilai maksimum airtanah yang mungkin berada di dalam akuifer. Sementara itu, kemampuan akuifer pada cadangan dinamis dihubungkan dengan karakteristik airtanah.

Pengolahan data dibantu dengan *soft ware* Mapinfo untuk membuat peta-peta hidrogeologi, antara lain peta hidrogeologi regional, peta muka airtanah, peta zona imbuhan/lepasan dan peta kualitas airtanah. Hasil pengolahan data tersebut menghasilkan kriteria kualitas kuantitas airtanah yang merupakan dasar dalam mengetahui potensi airtanah.

21

4. Hasil dan Pembahasan

4.1. Kondisi Hidrologi dan Hidrogeologi

4.1.1. Neraca Air

Airtanah merupakan salah satu komponen dari siklus hidrologi. Siklus hidrologi merupakan proses kontinyu dimana air bergerak dari bumi ke atmosfer dan kemudian ke bumi lagi (Triatmojo, 2008). Kajian ketersediaan airtanah berkaitan dengan komponen lain yang terlibat dalam siklus hidrologi, antara lain neraca air. Neraca air dapat diketahui berdasarkan nilai evapotranspirasi, *run off* maupun resapan.

Evapotranspirasi adalah kondisi lepasnya air permukaan ke udara yang dipengaruhi oleh suhu dan presipitasi. Perhitungan dilakukan dengan mempertimbangkan suhu tiap bulannya, kemudian dilakukan koreksi berdasarkan posisi lintang daerah penelitian. Berdasarkan hasil perhitungan menggunakan metode Thornthwaite (1948) maka

didapatkan evapotranspirasi pada CAT Banyumodal sebesar 172,33 mm/tahun. Hasil perhitungan tersaji pada Tabel 1 di bawah.

Nilai limpasan air permukaan (*run-off*) dipengaruhi oleh kondisi penggunaan lahan di daerah penelitian. Di daerah penelitian secara umum didominasi oleh 3 jenis tata guna lahan yaitu hutan, pemukiman dan kebun (Perda Kebumen No. 23, 2012). Jenis tata guna lahan tersebut digunakan untuk mengetahui nilai tutupan tanah mengacu pada Department of Agriculture, US (1986), kemudian dihitung nilai rata-rata *run-off* dengan mempertimbangkan luasan jenis tata guna lahan di daerah penelitian. Nilai *run-off* yang didapatkan kemudian dilakukan koreksi berdasarkan kondisi iklim daerah penelitian dengan nilai koreksi sebesar 0,43. Berdasarkan perhitungan Thornthwaite (1948) diketahui nilai *run-off* pada tata guna lahan hutan sebesar 1643,37 mm/tahun, pemukiman 1673,44 dan kebun 1664,43. Tabel perhitungan *run-off* dapat dilihat pada Tabel 2.

Tabel 1. Perhitungan evapotranspirasi

Bulan	Suhu (°C)	Indeks Panas	Koef.	Faktor koreksi	Etp (mm)
Januari	27,5	13,096	0,715	1,07	15,10
Februari	27,3	12,959	0,713	0,96	13,49
Maret	27,8	13,313	0,719	1,05	14,92
April	27,8	13,337	0,719	1	14,22
Mei	27,7	13,271	0,718	1,02	14,47
Juni	27,0	12,792	0,710	0,98	13,70
Juli	26,5	12,430	0,705	1,01	13,96
Agustus	26,1	12,148	0,700	1,02	13,98
September	26,7	12,519	0,706	1	13,86
Okttober	27,3	12,989	0,714	1,06	14,91
November	27,0	12,796	0,710	1,04	14,54
Desember	27,3	12,965	0,713	1,08	15,18
Total					172,33

Tabel 2. Hasil perhitungan *run-off* daerah penelitian

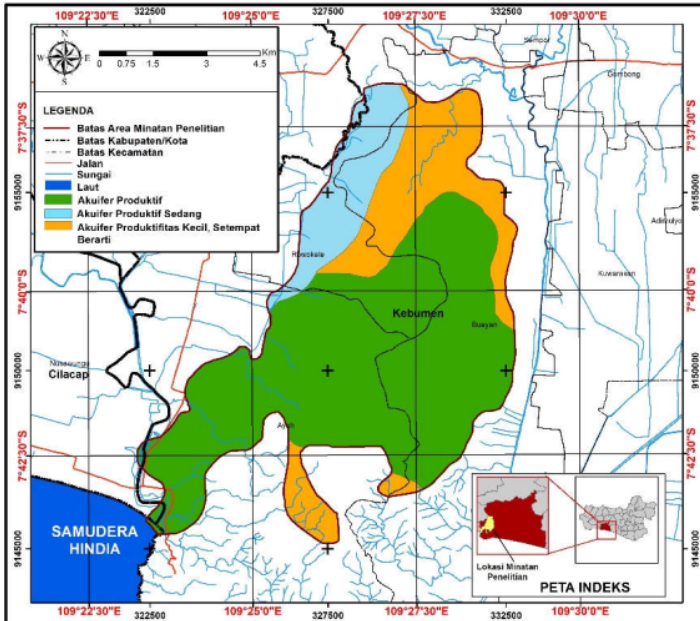
Penggunaan Lahan	Luas	Persen (%)	Curah hujan (mm)	Nomer kurva	Soil Cover	Run Off	Run off koreksi
Hutan	3608	54,77	3981,33	65	136,77	3821,78	1643,37
Permukiman	1768	26,84	3981,33	77	75,87	3891,71	1673,44
Kebun	1211	18,38	3981,33	73	93,95	3870,77	1664,43
Rata-rata							1655,31

4.1.2. Muka Airtanah dan Pola Aliran Airtanah

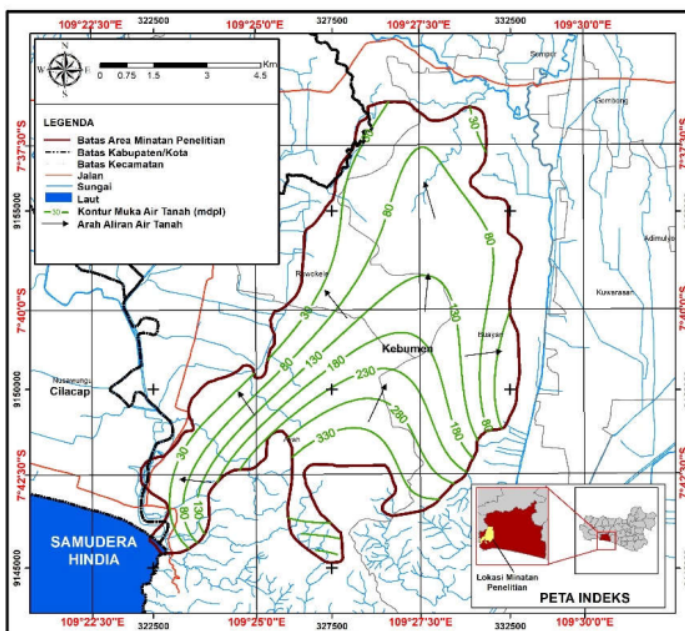
Kondisi muka airtanah pada akifer bebas pada umumnya berkorelasi erat dengan topografi permukaan (Listyani dkk., 2019). Untuk mengetahui kondisi hidrogeologi daerah penelitian secara lebih detail kemudian dilakukan pemetaan hidrogeologi yang terdiri pada sumur dan mataair (Gambar 6). Kondisi akifer dangkal berada pada elevasi terendah 0,95 mdpl dijumpai pada minatan sumur gali SG-96 yang berada di Desa Ayah, Kecamatan Ayah (UTM WGS 84 Zona 49S: 322538, 9147816). Sedangkan elevasi tertinggi akifer berada pada ketinggian 358,8 mdpl dijumpai pada minatan sumur gali SG-109 yang berada di Desa Kalibangkang, Kecamatan Ayah (UTM WGS 84 Zona 49S: 326577, 9148190). Kedalaman

akuifer dangkal dari permukaan tanah bervariasi antara 1 – 12,7 meter tergantung pada lokasi titik minatan.

Berdasarkan hasil interpolasi data sumur gali dapat diketahui muka airtanah dangkal dan aliran tanah dangkal daerah penelitian (Gambar 6). Pola aliran airtanah di CAT Banyumodal diketahui berasal dari daerah selatan penelitian yang berupa daerah tinggian. Secara umum aliran airtanah yang berasal dari bagian selatan mengalir ke utara dan sebagian ke arah barat menuju Samudera Indonesia. Aliran air yang mengarah ke utara kemudian menyebar ke berbagai arah menuju ke daerah yang berupa rendahan.



Gambar 5. Peta Hidrogeologi Regional CAT Banyumudal (Effendi, 1985)



Gambar 6. Peta Muka Airtanah CAT Banyumudal

4.1.3. Zona Imbuhan dan Lepasan

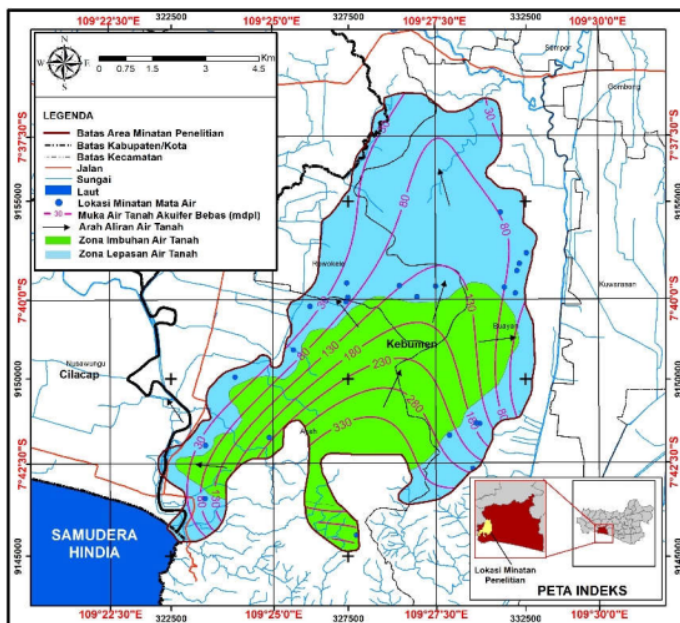
Identifikasi zona imbuhan dan resapan perlu dilakukan untuk memahami potensi airtanah. Tata guna lahan yang tepat perlu ditentukan agar sesuai dengan wilayah zona resapan (Putranto dan Aryanto, 2018). Daerah imbuhan dan lepasan merupakan dua zona yang berbeda, masing-masing memiliki karakteristik yang khas (Putranto dan Purba, 2019).

Daerah imbuhan secara umum berada pada daerah perbukitan, daerah tinggian, pegunungan dan biasanya menjadi daerah aliran air sementara. Proses pengimbuhan melibatkan gerakan air masuk kedalam akuifer. Daerah lepasan melibatkan keluarnya air dari dalam akuifer. Daerah lepasan biasanya berada pada daerah rendahan dengan aliran air yang biasanya tetap seperti mata air, rawa, danau dan laut (Rose,

2009). Perlindungan pada zona imbuhan diperlukan untuk menjaga kualitas airtanah di daerah imbuhan karena akan berdampak secara keseluruhan terhadap seluruh cekungan airtanah. Airtanah akan mengalir dari tempat yang lebih tinggi menuju tempat yang lebih rendah sehingga apabila jumlah dan kualitas airtanah pada daerah imbuhan tidak cukup baik maka akan berdampak pada keseluruhan wilayah dalam cekungan airtanah.

Mengacu pada Permen ESDM No. 31/2018, zona imbuhan secara umum memiliki kelerengan yang

lebih terjal, kedudukan airtanah yang lebih tinggi dan mengalir relatif lebih vertikal dan kualitas airtanah yang lebih baik. Selain itu batas zona imbuhan dan lepasan dapat ditentukan berdasarkan pelurusan mata air, dimana arah hulu mata air adalah zona imbuhan dan arah hilir mata air adalah zona lepasan. Berdasarkan ketentuan tersebut kemudian disusun Peta zona imbuhan dan lepasan airtanah CAT Banyumulud yang dapat dilihat pada Gambar 7.



Gambar 7. Peta Zona Imbuhan dan Lepasan CAT Banyumulud

4.2. Kualitas Airtanah

Hasil analisis kualitas airtanah yang diteliti disajikan pada peta kualitas airtanah (Gambar 8). Parameter utama yang digunakan dalam penentuan kualitas airtanah pada penelitian ini ditentukan berdasarkan nilai daya hantar listrik (Wilcox, 1955 dalam Zakai, 2015) dan derajat keasaman (Permenkes, 2010).

4.2.1. Sifat Fisik Airtanah

Berdasarkan nilai daya hantar listrik didapatkan rentang nilai 115 - 1.251 $\mu\text{S}/\text{cm}$, termasuk dalam rentang kualitas sangat baik hingga sedang (Tabel 3). Sifat fisik airtanah yang diteliti menunjukkan adanya 19 sumur gali dengan airtanah yang berbau dan 11 sumur gali yang keruh airnya. Nilai DHL dari sumur gali yang tertinggi sebesar 1.251 $\mu\text{S}/\text{cm}$ dijumpai pada SG 56 yang terletak di Desa Watukelir, Kecamatan Ayah dan nilai terkecil (115 $\mu\text{S}/\text{cm}$) dijumpai pada SG 54 yang terletak di Desa Argosari, Kecamatan Ayah.

Data dari sumur bor menunjukkan bahwa airtanah tidak ada yang berbau, keruh, maupun berasa. Nilai DHL paling rendah ditunjukkan oleh SB 13 yang

terdapat di Desa Kalisari dengan nilai 507 $\mu\text{S}/\text{cm}$ dan tertinggi terdapat pada SB 2 yang terdapat di Desa Nogoraji dengan nilai 981 $\mu\text{S}/\text{cm}$.

Kualitas airtanah pada mata air menunjukkan bahwa airtanah tidak berbau, tidak berwarna, serta tak berasa. Nilai DHL terendah dijumpai pada MA 1 yang terletak pada Desa Tlogosari dengan nilai 259 $\mu\text{S}/\text{cm}$ dan tertinggi terletak pada MA 11 di Desa Karangsari dengan nilai 604 $\mu\text{S}/\text{cm}$.

4.2.2. Sifat Kimia Airtanah

4.2.2.1. Nilai Keasaman (pH)

Nilai pH airtanah yang terdapat berada pada rentang 5,761 - 8,5, yang berarti layak digunakan sebagai air minum berdasarkan standar Permenkes (2010). Standar tersebut memberikan syarat kualitas air minum berdasarkan pH pada kisaran 5,5 - 8,5. Sifat kimia dari sumur gali yang diteliti memiliki pH terendah pada SG 54 yang terletak di Desa Argosari dengan nilai pH 5,761. Nilai pH tertinggi ditunjukkan oleh airtanah pada SG 22 yang terletak di Desa Jogomulyo sebesar 8,5.

Nilai pH airtanah pada sumur bor yang terendah diketahui sebesar 7,013 dijumpai pada SB 2 yang terletak di Desa Nogoraji. Nilai pH airtanah yang tertinggi sebesar 8,333 dijumpai pada SB 9 di Desa Bumiagung. Sementara itu, nilai pH airtanah dari mata air yang terkecil (6,747) dijumpai pada MA 11 di Desa Karangsari dan tertinggi (8,204) pada MA 1 di Desa .

4.2.2.2. Kandungan Ion Terlarut

Kandungan ion terlarut dari airtanah yang diteliti meliputi ion mayor dan minor. Ion-ion tersebut terdapat dalam airtanah tersebut meliputi ion Kalsium (Ca^{2+}), Magnesium (Mg^{2+}), Besi (Fe^{3+}), Mangan (Mn^{2+}), kalium (K^+), Natrium (Na^+), Amonia (NH_4^+), Bikarbonat (HCO_3^-), Klorida (Cl^-), Sulfat (SO_4^{2-}), Nitrat (NO_3^-), dan Nitrit (NO_2^-).

4

Tabel 3. Kualitas Air berdasarkan Daya Hantar Listrik (Wilcox, 1955 dalam Zakai, 2015)

Daya hantar listrik ($\mu\text{s}/\text{cm}$)	Kualitas Air
<250	Sangat Baik
250 - 750	Baik
750 - 2000	Sedang
2000 - 3000	Buruk
>3000	Sangat Buruk

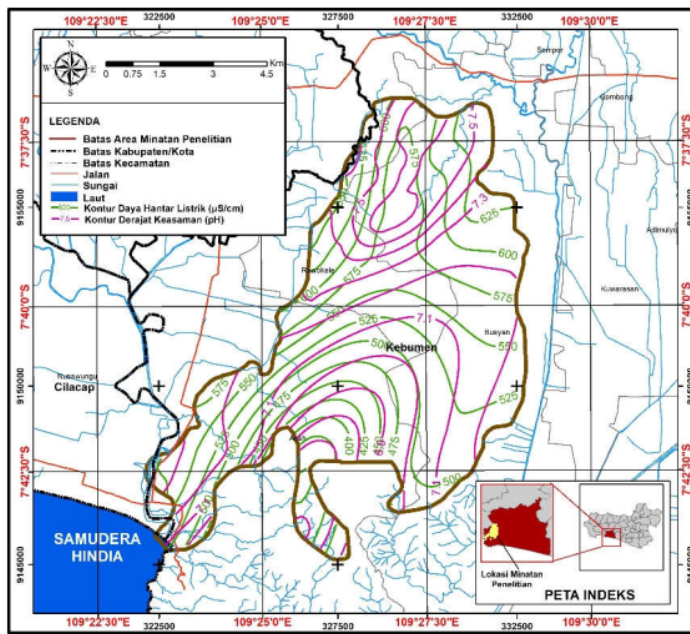
4.2.3. Tipe Airtanah

Berdasarkan perhitungan Kurlov didapatkan 12 tipe airtanah di CAT Banyumudal, **26** itu tipe $\text{Ca}^{2+}\text{-HCO}_3^-$, $\text{Ca}^{2+}\text{-HCO}_3^-\text{-SO}_4^{2-}$, $\text{Ca}^{2+}\text{-Mg}^{2+}\text{-HCO}_3^-$, $\text{Ca}^{2+}\text{-Na}^+\text{-HCO}_3^-$, $\text{Mg}^{2+}\text{-Ca}^{2+}\text{-HCO}_3^-$, $\text{Mg}^{2+}\text{-Ca}^{2+}\text{-Na}^+\text{-HCO}_3^-$, $\text{Mg}^{2+}\text{-Na}^+\text{-Ca}^{2+}\text{-HCO}_3^-$, $\text{Na}^+\text{-Ca}^{2+}\text{-HCO}_3^-$, $\text{Na}^+\text{-Ca}^{2+}\text{-SO}_4^{2-}$, $\text{Na}^+\text{-HCO}_3^-$, $\text{Na}^+\text{-HCO}_3^-$ - SO_4^{2-} , dan $\text{Na}^+\text{-Mg}^{2+}\text{-HCO}_3^-$.

Tipe airtanah $\text{Ca}^{2+}\text{-HCO}_3^-$ (**cd 19** um bicarbonate) ditemukan pada 46 sampel, yaitu SG 03, SG 04, SG 08,

SG 10, SG 21, SG 24, SG 26, SG 30, SG 31, SG 33, SG 38, SG 44, SG 49, SG 50, SG 57, SG 61, SG 68, SG 72, SG 77, SG 81, SG 83, SG 85, SG 89, SG 91, S 183, SG 94, SG 98, SG 101, SB 02, SB 04, SB 15, SB 17, MA 02, MA 03, MA 06, MA 08, MA 10, MA 12, MA 13, MA 14, MA 15, MA 16, MA 18, MA 19, MA 21, dan MA 22. Tipe airtanah $\text{Ca}^{2+}\text{-HCO}_3^-\text{-SO}_4^{2-}$ (*calcium bicarbonate sulphate*) hanya ditunjukkan oleh sampel SG 66. Tipe airtanah $\text{Ca}^{2+}\text{-Mg}^{2+}\text{-HCO}_3^-$ (*calcium magnesium bicarbonate*) ditemukan pada 8 sampel airtanah, yaitu pada SG 09, SG 11, SG 12, SG 20, SG 43, SG 60, SB 06, dan SB 16. Tipe airtanah $\text{Ca}^{2+}\text{-Na}^+\text{-HCO}_3^-$ (*calcium sodium bicarbonate*) ditemukan pada 7 sampel airtanah, yaitu pada SG 27, SG 53, SG 106, SG 107, SG 108, SB 19, dan MA 01.

Tipe airtanah $\text{Mg}^{2+}\text{-Ca}^{2+}\text{-HCO}_3^-$ (*magnesium calcium bicarbonate*) ditemukan pada sampel SG 17 dan SB 08. Tipe airtanah $\text{Mg}^{2+}\text{-Ca}^{2+}\text{-Na}^+\text{-HCO}_3^-$ (*magnesium calcium sodium bicarbonate*) hanya ditemukan pada sampel SB 13. Tipe airtanah $\text{Mg}^{2+}\text{-Na}^+\text{-HCO}_3^-$ (*magnesium sodium bicarbonate*) hanya ditemukan pada SB 14. Tipe airtanah $\text{Na}^+\text{-Ca}^{2+}\text{-HCO}_3^-$ (*sodium calcium bicarbonate*) ditemukan pada 6 sampel airtanah, yaitu pada SG 14, SG 54, SG 70, SG 109, SG 110, dan SB 10. Tipe airtanah $\text{Na}^+\text{-Ca}^{2+}\text{-SO}_4^{2-}$ (*sodium calcium sulphate*) hanya ditemukan pada sampel SG 56. Tipe airtanah $\text{Na}^+\text{-HCO}_3^-$ (*sodium bicarbonate*) ditemukan pada 5 sampel airtanah, yaitu pada SG 22, SB 05, SB 09, SB 11, dan SB 18. Tipe airtanah $\text{Na}^+\text{-HCO}_3^-\text{-SO}_4^{2-}$ (*sodium bicarbonate sulphate*) ditemukan hanya pada sampel SG 76. Tipe airtanah $\text{Na}^+\text{-Mg}^{2+}\text{-HCO}_3^-$ (*sodium magnesium calcium bicarbonate*) hanya ditemukan pada SG 39.



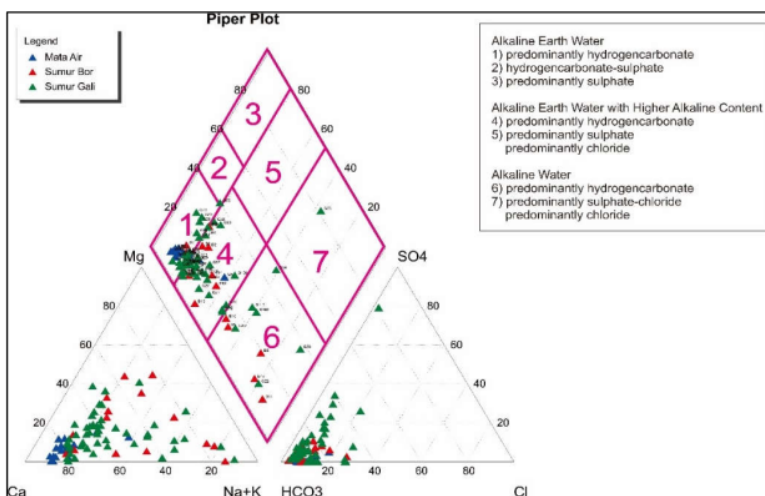
Gambar 8. Peta Kualitas Airtanah CAT Banyumudal

4.2.4. Fasies Airtanah

Kemudian hasil pengeplotan pada diagram piper dapat dilihat pada Gambar 9, diperoleh hasil 4 fasies airtanah pada CAT banyumudal, yaitu fasies *alkaline earth water predominantly hydrogencarbonate*, fasies *alkaline earth water with higher alkaline content predominantly hydrogencarbonate*, fasies *alkaline water predominantly hydrogencarbonate*, dan fasies *alkaline water predominantly sulphate chloride*.

Fasies fasies *alkaline earth water predominantly hydrogencarbonate* ditunjukkan dari 36 sampel airtanah dengan komposisi anion dominan adalah bikarbonat (HCO_3^-) dan komposisi kation dominan adalah unsur alkali tanah berupa ion kalsium (Ca^{2+}). Fasies fasies *alkaline earth water with higher alkaline content predominantly hydrogencarbonate*

ditunjukkan oleh 32 sampel airtanah yang menunjukkan komposisi anion dominan adalah bikarbonat (HCO_3^-) dan komposisi kation dominan berupa kalsium (Ca^{2+}), namun fasies ini memiliki unsur alkali tanah (Na^++K^+) yang lebih tinggi. Fasies fasies *alkaline water predominantly hydrogencarbonate* ditunjukkan pada 6 sampel airtanah dengan komposisi anion dominan adalah bikarbonat (HCO_3^-) dan komposisi kation dominan adalah unsur alkali (Na^++K^+). Kemudian fasies *alkaline water predominantly sulphate chloride* ditunjukkan hanya pada sampel SG 56 dengan komposisi anion dominan berupa (SO_4^{2-}) dan komposisi kation dominan adalah unsur alkali (Na^++K^+).



Gambar 9. Plot data airtanah CAT Banyumudal pada Diagram Piper

4.3. Geometri Akuifer

Hasil interpretasi geolistrik menunjukkan adanya lapisan bawah permukaan yang berupa lapisan batulempung, batulempung pasiran, tuf, batupasir, batugamping, dan breksi. Lapisan batulempung diidentifikasi dengan nilai tahanan jenis 0,18 – 0,83 Ωm . Lapisan batulempung **16** asiran memiliki nilai tahanan jenis 1,01 – 18,59 Ωm . Lapisan **16** memiliki nilai tahanan jenis sebesar 1,71 – 12,5 Ωm . Lapisan **16** upasir memiliki nilai tahanan jenis 20,47 – 99,19 Ωm . Lapisan batugamping memiliki nilai tahanan jenis antara 105 – 2489,17 Ωm . Breksi memiliki nilai tahanan jenis antara 32,62 – 228,5 Ωm .

Untuk mengetahui geometri akuifer dilakukan pembuatan penampang terhadap 3 sayatan berarah utara-selatan (sayatan A-A', sayatan C-C', dan sayatan E-E') dan 3 sayatan berarah barat-timur (sayatan B-B', sayatan D-D', dan sayatan F-F'). Pada sayatan A-A' (Gambar 10) ditemukan adanya dominasi batulempung pasiran yang tebal. Pada sayatan B-B' (Gambar 11) ditemukan dominasi dari persebaran lapisan batupasir dan batulempung pasiran yang tebal. Sayatan C-C' (Gambar 12) memperlihatkan

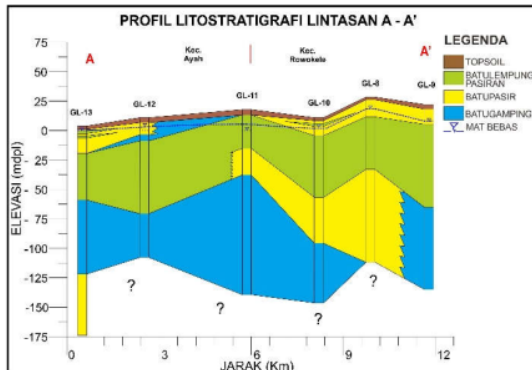
adanya lapisan tebal batupasir yang menjari dengan batugamping. Pada sayatan D-D' (Gambar 13) terlihat lapisan batulempung pasiran yang menjari dengan batugamping yang tebal. Sayatan E-E' (Gambar 14) memperlihatkan lapisan batugamping tebal diatas endapan vulkanik. Lapisan F-F' (Gambar 15) ditemukan adanya batuan vulkanik berupa tuf dan breksi yang cukup tebal.

Dari hasil penampang geolistrik yang telah dibuat, dapat dilihat dari adanya dominasi lapisan bawah permukaan yang terlihat bahwa akuifer yang berkembang pada CAT Banyumudal adalah akuifer bebas. Hal ini diperkuat dari keberadaan lapisan batulempung yang hanya setempat dan tidak luas. Kemudian akuifer bebas pada CAT Banyumudal berada pada lapisan batupasir yang melampir tebal di seluruh daerah, lapisan batugamping yang ditemukan menerus dibagian bawah lapisan, dan batulempung pasiran yang juga ditemukan melampir secara luas.

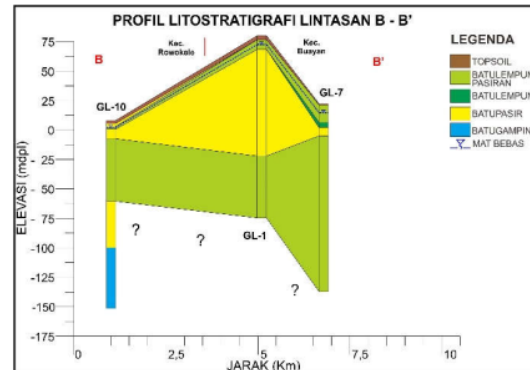
Volume akuifer pada penelitian ini dihitung melalui adanya permodelan ketebalan akuifer dari hasil survei geolistrik. Data survei geolistrik yang telah didapat kemudian diinterpretasi lapisan yang

dapat menjadi aquifer baik aquifer bebas maupun aquifer tertekan. Dari data tersebut kemudian diketahui data ketebalan aquifer di tiap titik geolistrik. Untuk mengetahui ketebalan aquifer secara keseluruhan daerah penelitian kemudian dilakukan interpolasi data dengan menggunakan metode

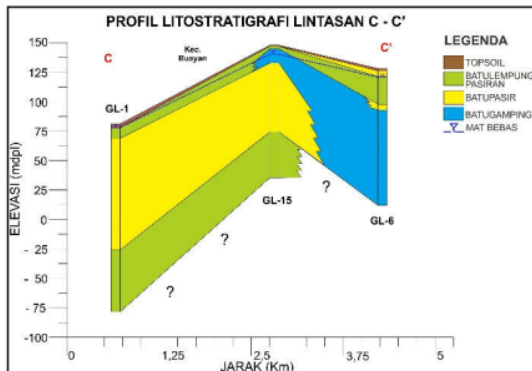
kriging. Data hasil interpolasi kemudian dihitung dengan rumus *trapezoidal* pada perangkat lunak untuk mengetahui volume batuan. Volume aquifer bebas berdasarkan rumus *trapezoidal* adalah 1.115.546.284 m³.



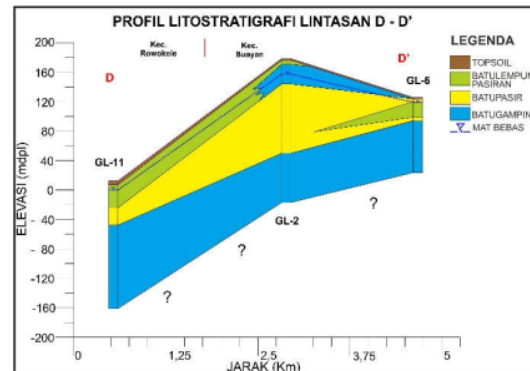
Gambar 10. Penampang Sayatan A-A'



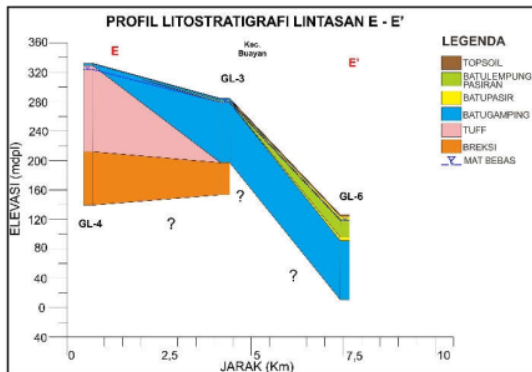
Gambar 11. Penampang Sayatan B-B'



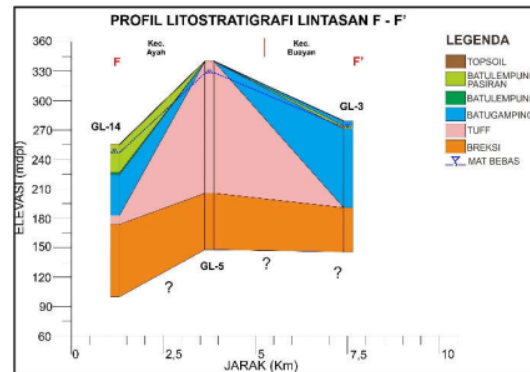
Gambar 12. Penampang Sayatan C-C'



Gambar 13. Penampang Sayatan D-D'



Gambar 14. Penampang Sayatan E-E'



Gambar 15. Penampang Sayatan F-F'

4.4. Cadangan Airtanah

4.4.1. Cadangan Statis

Cadangan statis dihitung berdasarkan volume aquifer dan kemampuan menyimpan batuan (*specific yield*) sehingga nilai yang didapatkan adalah nilai maksimum airtanah yang mungkin berada di dalam

541

aquifer. Airtanah pada daerah penelitian dijumpai dalam aquifer bebas yang berupa batulempung pasiran, batupasir dan batugamping. Nilai *specific yield* yang digunakan untuk melakukan pendekatan volume airtanah adalah batugamping karena merupakan litologi yang paling dominan.

Berdasarkan Heath (1983 dalam Risanti dkk, 2018) nilai *specific yield* batugamping adalah 18%.

Selanjutnya, nilai volume aquifer bebas yang telah diketahui digunakan dalam perhitungan cadangan statis dengan mengikuti persamaan dan didapatkan hasil yaitu $200,7 \times 10^6 \text{ m}^3$. Berikut adalah perhitungan cadangan statis tersebut :

$$\begin{aligned}\text{Cadangan Statis} &= \text{Spesific yield} \times V \text{ akuifer} \\ &= 0,18 \times 1.115.546.284 \text{ m}^3 \\ &= 200.798.331 \text{ m}^3\end{aligned}$$

4.4.2. Cadangan Dinamis

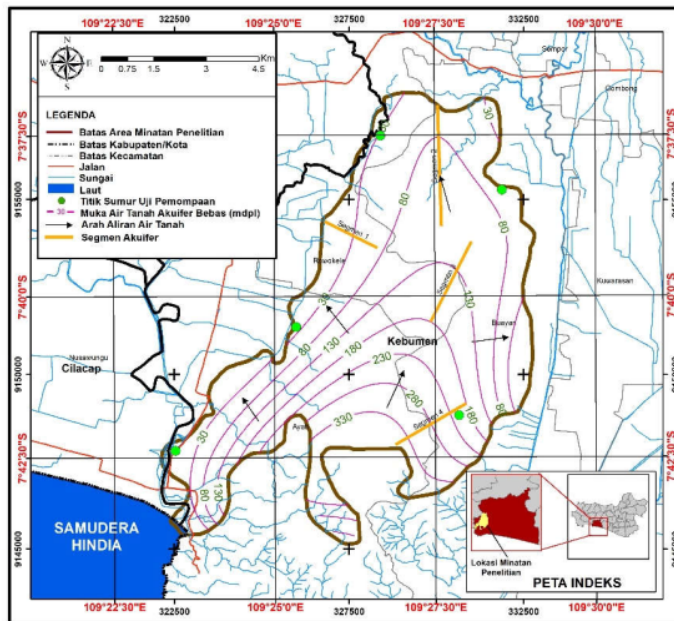
Cadangan dinamis secara spesifik menggambarkan jumlah airtanah yang dapat masuk ke dalam aquifer dengan berdasarkan pada parameter

karakteristik aquifer, antara lain nilai transmisivitas, landaian hidrolik dan panjang daerah. Nilai keterusan air didapatkan melalui uji pemompaan pada beberapa titik sumur gali. Sementara nilai landaian hidrolik didapatkan melalui pembuatan sayatan pada peta kontur MAT yang berasal dari pemodelan data muka airtanah bebas.

Nilai transmisivitas air, nilai landaian hidrolik, dan panjang segmen daerah dari cadangan dinamis aquifer bebas dapat dilihat pada Tabel 4 dan segmen yang digunakan dalam perhitungan dapat dilihat pada Gambar 16. Berdasarkan perhitungan, nilai cadangan dinamis daerah penelitian diketahui sebesar $33.472.479,78 \text{ m}^3/\text{tahun}$.

Tabel 4. Perhitungan cadangan dinamis aquifer bebas

Segmen	K (m/hari)	$i (x 10^3)$	A (m^2)	O (m^3/hari)
1	0,098	0,02952	21.151.711	61.182,64
2	0,00287	0,0115	15.703.112	518,32
3	0,0278	0,02712	13.440.162	10.133,50
4	0,0154	0,07234	16.328.439	18.190,58
Jumlah				91.705,42 m^3/hari 33.472.479,78 m^3/tahun



Gambar 16. Peta Segmen Cadangan Dinamis CAT Banyumudal

4.5. Zona Potensi Airtanah

Zona potensi airtanah sangat ditentukan oleh batuan aquifer maupun non aquifer pada suatu cekungan airtanah. Karakteristik petrofisik batuan tersebut akan sangat mempengaruhi kondisi hidrolik suatu aquifer (Listyani, 2020) dan mempengaruhi potensi airtanah. Berdasarkan hasil analisis diketahui terdapat 2 zona potensi airtanah pada aquifer bebas yaitu potensi rendah pada aquifer bebas dan potensi sedang pada aquifer bebas (Gambar 17).

4.5.1. Potensi Airtanah Rendah pada Aquifer Bebas

Potensi airtanah rendah berada pada sekitar 80% luas wilayah penyelidikan. Secara umum kualitas airtanah tergolong baik dengan nilai rata-rata daya hantar listrik $572 \mu\text{S}/\text{cm}$. Nilai daya hantar listrik terdapat pada SG-54 dan SG-110 dengan sebesar $115 \mu\text{S}/\text{cm}$, nilai daya hantar listrik tertinggi terdapat pada SG-24 dengan nilai sebesar $1124 \mu\text{S}/\text{cm}$.

Daerah dengan potensi airtanah rendah secara umum tersusun atas litologi berupa batupasir, batuempung dan batugamping. Berdasarkan analisis

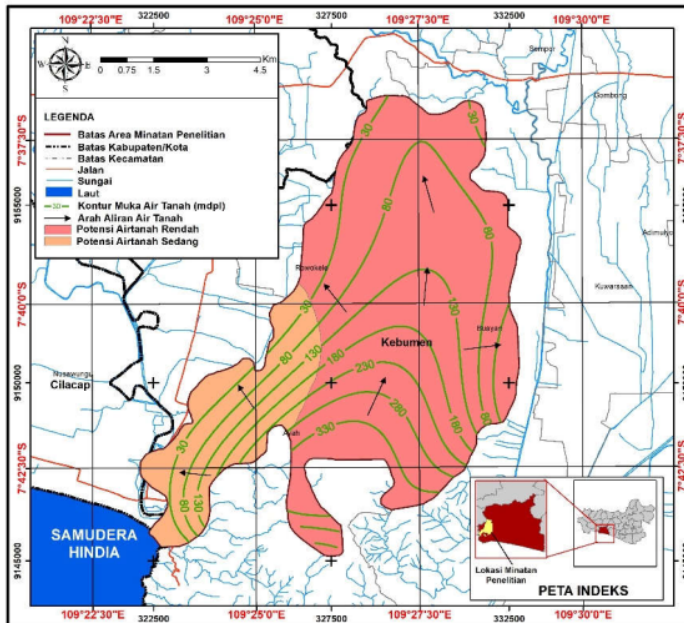
pumping test diketahui akuifer pada daerah ini memiliki nilai transmisivitas (T) dengan rentang 0,462 – 0,991 m²/hari, debit jenis (Q_s) antara 0,757 – 1,622 L/dtk/m dan debit optimum (Q_{opt}) 0,553 – 1,492 L/dtk.

5 4.5.2. Potensi Airtanah Sedang pada Akuifer Bebas

Potensi airtanah sedang berada pada sekitar 20% luas wilayah penyelidikan, yang berada di bagian barat daya CAT. Secara umum kualitas airtanah

tergolong baik dengan nilai DHL rata-rata sebesar 542 µS/cm. Nilai DHL terendah terdapat pada SG-106 yaitu 303 µS/cm, nilai DHL tertinggi terdapat pada SG-98 dengan nilai sebesar 901 µS/cm.

Daerah dengan potensi airtanah sedang secara umum tersusun atas litologi berupa batugamping. Berdasarkan analisis *pumping test* diketahui akuifer pada daerah ini memiliki nilai transmisivitas (T) dengan rentang 1,11 – 2,84 m²/hari, debit jenis (Q_s) antara 1,822 – 4,651 L/dtk/m dan debit optimum (Q_{opt}) 2,651 – 3,024 L/dtk.



Gambar 17. Peta Potensi CAT Banyumudal

5. Kesimpulan

Hasil studi potensi airtanah pada CAT Banyumudal dapat menghasilkan beberapa kesimpulan sebagai berikut.

- 1) Kualitas airtanah pada CAT Banyumudal berdasarkan nilai daya hantar listrik dan derajat keasaman berada pada rentang sangat baik hingga sedang.
- 2) CAT Banyumudal memiliki cadangan statis airtanah sebesar $200,7 \times 10^6$ m³ dan cadangan dinamis airtanah sebesar $33,4 \times 10^6$ m³.
- 3) CAT Banyumudal terbagi atas 2 zona yaitu zona potensi airtanah rendah pada aquifer bebas dengan debit optimum 0,553 – 1,492 L/dtk dan zona potensi airtanah sedang pada aquifer bebas dengan debit optimum 2,651 – 3,024 L/dtk.

UCAPAN TERIMAKASIH

Penulis mengucapkan banyak terimakasih atas dukungan dari Dinas Energi dan Sumber Daya Mineral, Jawa Tengah sehingga penelitian ini dapat diselesaikan.

30 DAFTAR PUSTAKA

- Asikin S., Handoyo, Prastistho, B. dan Gafier, S. 1992. Peta Geologi Regional Lembar Banyumas skala 1:100.000. Pusat Penelitian dan Pengembangan Geologi, Bandung.
- Badan Perencanaan Pembangunan Daerah (Bappeda) Kabupaten Kebumen. 2015. Peta Penggunaan Lahan Kabupaten Kebumen, Bappeda Kabupaten Kebumen, Kebumen.
- Badan Pusat Statistik (BPS) Kabupaten Kebumen, 2016. Kabupaten Kebumen dalam Angka 2016, BPS Kabupaten Kebumen, Kebumen.
- Badan Pusat Statistik Kabupaten Kebumen, 2017. Kabupaten Kebumen dalam Angka 2017, BPS Kabupaten Kebumen, Kebumen.
- Badan Pusat Statistik Kabupaten Kebumen, 2018. Kabupaten Kebumen dalam Angka 2018, BPS Kabupaten Kebumen, Kebumen.
- Badan Standardisasi Nasional, 2015. Penyelidikan Potensi Airtanah Skala 1:100.000 atau Lebih Besar, Badan Standardisasi Nasional, Jakarta. Bakosurtanal, 1999, Peta Rupa Bumi Indonesia Lembar 1308-342 Rowokele, Badan Koordinasi Survey dan Pemetaan Nasional, Bogor.

- 25 Bisri, M. 2012. Studi Tentang Pendugaan Airtanah, Sumur Airtanah dan Upaya dalam Konservasi Airtanah, UB Press, Malang.
- 6 Danaryanto, Djaendi, Harnadi, D., Mudiana, W., dan Budiyanto. 2007. Kumpulan Panduan Teknis Pengelolaan Airtanah, Departemen Energi dan Sumber Daya Mineral Badan Geologi, Pusat Lingkungan Geologi, Bandung.
- Department of Agriculture, US. 1986. *Urban Hydrology for Small Watersheds*. Department of Agriculture (USDA).
- Effendi, T.A. 14. 5. Peta Hidrogeologi Lembar Pekalongan (Jawa) skala 1:250.000. Direktorat Tata Lingkungan Geologi dan Kawasan Pertambangan, Bandung.
- 47 Kabupaten Kebumen. 2012. Peraturan Daerah Kabupaten Kebumen Nomor 23 Tahun 2012 tentang Rencana Tata Ruang Wilayah Kabupaten Kebumen Tahun 2011 – 2031. Pemerintah Provinsi Kabupaten Kebumen, Kebumen.
- Kurlov, M., 1928. Classification of Curable Mineral Springs in Siberia. Tomsk.
- Listyani R.A, T. 2020. Identifikasi Petrofisik Batuan sebagai Pendukung Karakteristik Hidrolik Akuifer pada Sub DAS Code, Yogyakarta. Jurnal Geosapta, Vol. 6 , No. 2, Juli 2020, Teknik Pertambangan FT, Univ. Lambung Mangkurat, <https://ppjp.ulm.ac.id/journal/index.php/geosapta/issue/view/864>.
- 35 Listyani R.A, T., Sulaksana, N., Alam, B.Y.C.S.S.S., Sudradjat, A., 2019, Topographic Control on Groundwater Flow in Central of Hard Water Area, West Progo Hills, Indonesia, International Journal of GEOMATE, Vol.17, Issue 60, pp.83-89, Geotec., Const. Mat. & Env., DOI: <https://doi.org/10.21660/2019.60.8104>.
- 4 Magesh, N.S., Chandrasekar, N., and Soundranayagam, J.P. 2012. Delineation of Groundwater Potential Zones in Theni District, Tamil Nadu, using remote sensing, GIS and MIF Techniques. *Geosciences Frontiers* 3 (2) (2012) 189-196.
- 50 Putranto, T.T. dan Aryanto, D., 2018. Spatial Analysis to Determine Groundwater Recharge Area in Purworejo Regency, Central Java Province/Indonesia. ICENIS 2018, E3S Web of Conferences 73, 0 (2018) <https://doi.org/10.1051/e3sconf/20187303025>.
- Putranto, T.T. dan Purba, S., 2019. Application of Spatial Analysis for Delineating Groundwater Recharge Zone for Industrial Usage in Tanah Bumbu Regency, South Borneo/Indonesia. IOP Conf. Series: Materials Science
- 27 and Engineering 598 (2019) 012093, doi:10.1088/1757-899X/598/1/012093.
- 6 Perhimpunan Ahli Airtanah Indonesia (PAAI) dan Groundwater Working group (GWWG), 2016. Quo Vadis, Airtanah untuk Tanah Air Indonesia, PAAI, Bandung.
- 17 Republik Indonesia, 2010. Peraturan Menteri Kesehatan Republik Indonesia tentang Persyaratan Kualitas Air Minum. Kementerian Kesehatan Republik Indonesia, Jakarta.
- 45 Republik Indonesia, 2017. *Energi dan Sumberdaya Mineral Republik Indonesia Nomor 2 tentang Cekungan Airtanah Indonesia*. Kementerian Energi dan Sumberdaya Mineral Republik Indonesia, Jakarta.
- Republik Indonesia, 2018. Peraturan Menteri Energi dan Sumberdaya Mineral Republik Indonesia Nomor 31 tentang Pedoman Penetapan Zona Konservasi Airtanah. Kementerian Energi dan Sumberdaya Mineral Republik Indonesia, Jakarta.
- Rose, S. 2009. Groundwater recharge and discharge. *Groundwater*. Georgia State University. 3: 65-75. Atlanta.<https://www.eolss.net/Sample-Chapters/C07/E2-09-06-07.pdf>
- 31 Risanti, A.A, Cahyono, K.A, Latifah, Putri, M.A., Rahmawati, N., Prameswari, S., Waskito, W.A., Adji, T.N., dan Cahyadi, A., 2018. Hidrostratigrafi Akuifer dan Estimasi Potensi Airtanah Bebas Guna Mendukung Kebutuhan Air Domestik Desa Sembungan. Majalah Geografi Indonesia. ISSN 2540-945X.
- 12 Setiadi, H. 2004. *Peta Cekungan Airtanah Provinsi Jawa Tengah dan Daerah Istimewa Yogyakarta Skala 1:250.000*, Departemen Energi dan Sumberdaya Mineral, Direktorat Jenderal Geologi dan Sumberdaya Mineral, Direktorat Tata Lingkungan Geologi dan Kawasan Pertambangan, Bandung.
- 7 Thorntwaite, C. W. 1948. An Approach Toward a Rational Classification of Climate. *Geographical Review*, Vol.38, No.1.
- Todd, D.K., dan Mays, L.W. 2005. *Groundwater Hydrology* 3rd Editi. John Wiley & Sons, New York.
- van Zuidam. 1983. *Guide to Geomorphologic Aerial Photographic Interpretation and Mapping*. ITC Enschede The Nederland. Belanda.
- Zekai, S. 2015. *Practical and Applied Hydrogeology*, Elsevier: Amsterdam

Studi Potensi Air tanah pada Cekungan Airtanah (CAT) Banyumudal, Kabupaten Kebumen, Jawa Tengah

ORIGINALITY REPORT

19%

SIMILARITY INDEX

PRIMARY SOURCES

- | | | |
|---|--|----------------|
| 1 | ejournal.undip.ac.id | 218 words — 3% |
| 2 | id.scribd.com | 89 words — 1% |
| 3 | eprints.undip.ac.id | 87 words — 1% |
| 4 | ejournal2.undip.ac.id | 71 words — 1% |
| 5 | download.garuda.ristekdikti.go.id | 51 words — 1% |
| 6 | ejurnal.itats.ac.id | 40 words — 1% |
| 7 | www.scribd.com | 37 words — 1% |
| 8 | T T Putranto, D A Widiarso, N Susanto. "Assessment of Groundwater Quality to Achieve Sustainable Development in Semarang Coastal Areas", IOP Conference Series: Earth and Environmental Science, 2017
<small>Crossref</small> | 36 words — 1% |

- 9 doku.pub
Internet 35 words — 1 %
- 10 lib.stieputrabangsa.ac.id
Internet 34 words — 1 %
- 11 Thomas Triadi Putranto, Daniel Setiawan.
"Penentuan Zona Konservasi dan Pemanfaatan
Airtanah Akuifer Bebas pada Cekungan Airtanah Pati-Rembang,
Provinsi Jawa Tengah", RISET Geologi dan Pertambangan, 2019
Crossref 31 words — < 1 %
- 12 jurnal.ugm.ac.id
Internet 21 words — < 1 %
- 13 ejournal.poltektdc.ac.id
Internet 20 words — < 1 %
- 14 media.neliti.com
Internet 20 words — < 1 %
- 15 pt.scribd.com
Internet 20 words — < 1 %
- 16 savana-cendana.id
Internet 20 words — < 1 %
- 17 Wulan Seizarwati, Derry Prasetya. "Penentuan
Jaringan Sumur Pantau Primer Dengan Metode
Inverse Distance Weighting Di Cekungan Air Tanah Jakarta",
JURNAL SUMBER DAYA AIR, 2019
Crossref 19 words — < 1 %
- 18 drapeshop.ru
Internet 19 words — < 1 %
- 19 www.gatesiron.com

20 ppjp.ulm.ac.id
Internet

18 words – < 1%

21 adoc.pub
Internet

17 words – < 1%

22 jurnal.untad.ac.id
Internet

17 words – < 1%

23 www.slideshare.net
Internet

16 words – < 1%

24 journal.unpak.ac.id
Internet

15 words – < 1%

25 Thomas Triadi Putranto, Nestri Martini.
"Developing a groundwater conservation zone in
Jepara groundwater basin", AIP Publishing, 2018
Crossref

14 words – < 1%

26 Madhumita Chakraborty, Abhijit Mukherjee, Kazi
Matin Ahmed. "Transboundary groundwater of
the Ganges–Brahmaputra–Meghna River delta system", Elsevier
BV, 2021
Crossref

13 words – < 1%

27 T T Putranto, S Purba. "Application of Spatial
Analysis for Delineating Groundwater Recharge
Zone for Industrial Usage in Tanah Bumbu Regency, South
Borneo/Indonesia", IOP Conference Series: Materials Science
and Engineering, 2019
Crossref

13 words – < 1%

28 rakrianmujahid.blogspot.com
Internet

13 words – < 1%

29 anzdoc.com
Internet

12 words – < 1%

30 es.scribd.com
Internet

12 words – < 1%

31 digilib.uin-suka.ac.id
Internet

11 words – < 1%

32 fr.scribd.com
Internet

10 words – < 1%

33 masyarakatkarst.blogspot.com
Internet

10 words – < 1%

34 pwdusu2014.wordpress.com
Internet

10 words – < 1%

35 repo-dosen.ulm.ac.id
Internet

10 words – < 1%

36 core.ac.uk
Internet

9 words – < 1%

37 digilib.uns.ac.id
Internet

9 words – < 1%

38 ejournal.forda-mof.org
Internet

9 words – < 1%

39 Bo Zhang. "Fluorine distribution in aquatic environment and its health effect in the Western Region of the Songnen Plain, Northeast China", Environmental Monitoring and Assessment, 10/2007

8 words – < 1%

- 40 S. K. Nag, S. Ray. "Deciphering Groundwater Potential Zones Using Geospatial Technology: A Study in Bankura Block I and Block II, Bankura District, West Bengal", Arabian Journal for Science and Engineering, 2014
Crossref 8 words – < 1 %
- 41 e-journals.unmul.ac.id Internet 8 words – < 1 %
- 42 jurnal.pekalongankota.go.id Internet 8 words – < 1 %
- 43 Frederikus Dian Indrastomo, Heri Syaeful, Kurnia Anzhar, June Mellawati. "Studi Geologi Awal untuk Calon Tapak PLTN di Pulau Singkep dan Lingga, Kepulauan Riau", Jurnal Pengembangan Energi Nuklir, 2019
Crossref 7 words – < 1 %
- 44 Pinto, Domingos, Sangam Shrestha, Mukand S. Babel, and Sarawut Ninsawat. "Delineation of groundwater potential zones in the Comoro watershed, Timor Leste using GIS, remote sensing and analytic hierarchy process (AHP) technique", Applied Water Science, 2015.
Crossref 7 words – < 1 %
- 45 prosiding.perhapi.or.id Internet 7 words – < 1 %
- 46 moam.info Internet 6 words – < 1 %
- 47 poncowidodo1985.blogspot.com Internet 6 words – < 1 %
- 48 www.jogloabang.com Internet 6 words – < 1 %

-
- 49 C Prasetyadi, B Prastistho, A Rodhi, P Pratiknyo, M G Rachman, Y Rizkianto, Arhananta, I Arina, A Nugraha. "Conservation of groundwater in Nglangeran Area, Gunung Kidul District, Yogyakarta", IOP Conference Series: Earth and Environmental Science, 2018

Crossref

5 words – < 1 %

-
- 50 www.e3s-conferences.org 4 words – < 1 %

Internet

5 words – < 1 %

EXCLUDE QUOTES ON

EXCLUDE MATCHES OFF

EXCLUDE BIBLIOGRAPHY ON